

Etude des corrections relativistes

par la méthode de l'hamiltonien effectif (1^{ère} partie)

But de ce cours

Obtenir, à partir de l'équation de Dirac (en seconde quantification pour tenir compte des effets à plusieurs particules), l'expression d'un hamiltonien effectif à une particule, agissant sur les spins à 2 composantes, incluant les premières corrections relativistes jusqu'à l'ordre 2 inclus en $1/m$ et $1/c$, ainsi que le couplage avec un champ de rayonnement quantifié, et tenant compte des créations virtuelles de paires e^+e^- . Problème très important pour justifier l'existence des hamiltoniens utilisés en physique des basses énergies.

Plan de ce cours

A - L'équation de Dirac

1. Introduction simple de cette équation T1 à T7
2. La difficulté des états d'énergie négative. La théorie des trous. (T8 à T10)
3. Seconde quantification de l'équation de Dirac. Théorie à N particules T11 à T13

B - Limite faiblement relativiste. Comment introduire un hamiltonien effectif?

1. Idée générale T14 à T15
2. Théorie à 1 particule T16 à T18
3. Théorie à N particules. T19 à T22

Equation de Schrödinger

T-1

Relation E, \vec{p} pour une particule libre

$$E = \frac{\vec{p}^2}{2m}$$

Règles de correspondance

$$E \rightarrow i\hbar \frac{\partial}{\partial t} \quad \vec{p} \rightarrow -i\hbar \vec{\nabla}$$

$$\hookrightarrow i\hbar \frac{\partial}{\partial t} \psi = -\frac{\hbar^2}{2m} \Delta \psi$$

Courant et densité de probabilité

$$\begin{cases} \rho = \psi^* \psi \geq 0 \\ \vec{j} = \frac{\hbar}{2mi} [\psi^* (\vec{\nabla} \psi) - (\vec{\nabla} \psi^*) \psi] \end{cases}$$

$$\frac{\partial \rho}{\partial t} + \vec{\nabla} \cdot \vec{j} = 0$$

Conservation de la probabilité

Particule en présence d'un champ électromagnétique

Potentiels (A, ϕ)

$$E \rightarrow E - e\phi \quad \vec{p} \rightarrow \vec{p} - e\vec{A}$$

$$i\hbar \frac{\partial}{\partial t} \psi = \frac{1}{2m} \left(\frac{\hbar}{i} \vec{\nabla} - e\vec{A} \right)^2 \psi + e\phi \psi$$

Relation E, \vec{p} pour une particule relativiste

T-2

$$\frac{E}{c} = \sqrt{\vec{p}^2 + m^2 c^2} \quad (1)$$

- Difficultés pour définir l'opérateur

$$\sqrt{m^2 c^2 - \hbar^2 \Delta}$$

- Disymétries entre les rôles joués par $\frac{\partial}{\partial t}$ et $\frac{\partial}{\partial x}, \frac{\partial}{\partial y}, \frac{\partial}{\partial z}$

Si l'on part, non pas de (1), mais de

$$\frac{E^2}{c^2} = \vec{p}^2 + m^2 c^2 \quad (2)$$

on obtient une équation du 2^{ème} ordre en $\frac{\partial}{\partial t}$ et non du 1^{er}.
(Equation de Klein-Gordon)

Equation de Dirac

T-3

T-4

Conditions pour que (3) redonne (1) VI-2

Idee générale

- Partir d'une relation linéaire à la fois en E et en \vec{p} .

(i) On veut avoir $\frac{\partial \psi}{\partial t}$ et non $\frac{\partial^2 \psi}{\partial t^2}$

(ii) x, y, z, t jouent des rôles symétriques en relativité.

- Cette relation doit être compatible avec

$$\frac{E^2}{c^2} = \vec{p}^2 + m^2 c^2 \quad (1)$$

En l'élevant au carré, on doit obtenir (1)

Réalisation

- Relation linéaire $\{E, \vec{p}\}$ la plus générale

$$E = c \vec{\alpha} \cdot \vec{p} + \beta m c^2 \quad (2)$$

$\vec{\alpha}, \beta$: quantités réelles sans dimensions

- Elevons (2) au carré

$$E^2 = c^2 \sum_i \sum_j \alpha_i \alpha_j p_i p_j + m c^3 \sum_i (\alpha_i \beta + \beta \alpha_i) p_i + \beta^2 m^2 c^4 \quad (3)$$

p_i et p_j commutent toujours. On peut donc récrire la 1^{ère} ligne de (3)

$$c^2 \sum_i \sum_j \frac{\alpha_i \alpha_j + \alpha_j \alpha_i}{2} p_i p_j$$

En identifiant (3) et (1), on obtient

$$\begin{cases} \alpha_i \alpha_j + \alpha_j \alpha_i = 2 \delta_{ij} \\ \beta \alpha_i + \alpha_i \beta = 0 \\ \beta^2 = 1 \end{cases} \quad (4)$$

Impossibilité de satisfaire à (4) en prenant des nombres pour $\vec{\alpha}$ et β
 $\vec{\alpha}$ et β sont nécessairement des matrices (hermitique)

ψ est donc nécessairement une fonction d'ondes à plusieurs composante (spinéur). La particule a à la fois

- des degrés de liberté externes ($\vec{r}, \vec{p}, \vec{L} = \vec{r} \times \vec{p} \dots$)

- des degrés de liberté internes sur lesquels agissent $\vec{\alpha}$ et β .

Les matrices de Dirac

T-5

On trouve que α_i et β doivent être au minimum des matrices 4×4 pour que les conditions (4) soient réalisées

Réalisation de dimension 4

Rappelons tout d'abord l'expression des matrices 2×2 de Pauli

$$\mathbb{1} = \begin{pmatrix} 1 & 0 \\ 0 & 1 \end{pmatrix} \quad \sigma_x = \begin{pmatrix} 0 & 1 \\ 1 & 0 \end{pmatrix} \quad \sigma_y = \begin{pmatrix} 0 & -i \\ i & 0 \end{pmatrix} \quad \sigma_z = \begin{pmatrix} 1 & 0 \\ 0 & -1 \end{pmatrix}$$

On vérifie alors aisément que les relations (4) sont satisfaites si l'on prend

$$(\alpha_i) = \begin{pmatrix} 0 & \sigma_i \\ \sigma_i & 0 \end{pmatrix} \quad (\beta) = \begin{pmatrix} \mathbb{1} & 0 \\ 0 & -\mathbb{1} \end{pmatrix}$$

En effet,

$$(\alpha_i \alpha_j + \alpha_j \alpha_i) = \begin{pmatrix} \sigma_i \sigma_j + \sigma_j \sigma_i & 0 \\ 0 & \sigma_i \sigma_j + \sigma_j \sigma_i \end{pmatrix} = 2 \delta_{ij}$$

$$\text{car } \sigma_i \sigma_j + \sigma_j \sigma_i = 2 \delta_{ij}$$

On vérifie de même aisément que

$$\alpha_i \beta + \beta \alpha_i = 0 \quad \beta^2 = 1$$

Courant et densité de probabilité

T-6

$$\rho = \psi^+ \psi \quad \vec{j} = c \psi^+ \vec{\alpha} \psi$$

On a bien

$$\begin{cases} \rho \geq 0 \\ \frac{\partial \rho}{\partial t} + \vec{\nabla} \cdot \vec{j} = 0 \end{cases}$$

Hamiltonien de Dirac \mathcal{H}_D

$$i \hbar \frac{\partial}{\partial t} \psi = \mathcal{H}_D \psi$$

Particule libre

$$\mathcal{H}_D = \beta m c^2 + c \vec{\alpha} \cdot \vec{p}$$

$$\text{avec } \vec{p} = \frac{\hbar}{i} \vec{\nabla}$$

Particule dans un champ électromagnétique

Potentels \vec{A}, ϕ

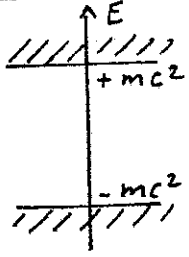
$$\mathcal{H}_D = \beta m c^2 + c \vec{\alpha} \cdot \vec{\pi} + c \phi$$

$$\text{avec } \vec{\pi} = \vec{p} - e \vec{A} = \frac{\hbar}{i} \vec{\nabla} - e \vec{A}$$

\vec{p} et \vec{j} gardent la même forme en présence de \vec{A}, ϕ

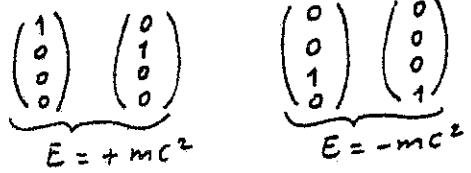
Spectre de \mathcal{H}_D pour une particule libre [T-7]

\vec{p} et \mathcal{H}_D commutent
 On trouve aisément
 le spectre suivant
 2 continuums
 $E = \pm \sqrt{m^2 c^4 + \vec{p}^2 c^2}$



Forme des états propres pour une particule au repos : $\vec{p} = 0$

On a alors $\mathcal{H}_D = \beta mc^2$
 4 états propres très simples

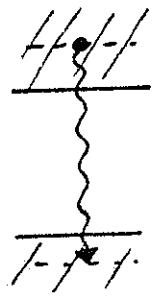


Une particule au repos, d'énergie $+mc^2$, peut exciter dans 2 états internes différents (spins $1/2$)
 Résultat qui demeure valable pour $\vec{p} \neq 0$ (par transformations de Lorentz)
 Pour $\vec{p} \neq 0$, les 4 composantes sont en général $\neq 0$.

Difficulté des états d'énergie < 0 [VI-3]

Spectre d'énergies négatives s'étendant jusqu'à $-\infty$!
 1^{ère} attitude possible

- On considère les états d'énergie < 0 comme des solutions mathématiques parasites. Les seuls états physiques acceptables sont les états d'énergie > 0
- Objection grave : Le couplage avec un champ de rayonnement quantique, a des éléments non-diagonaux entre états d'énergie > 0 et < 0 .
 Un électron dans un état d'énergie > 0 peut émettre spontanément un photon et "tomber" dans un état d'énergie < 0



Instabilité des états d'énergie > 0 vis à vis de l'émission spontanée !

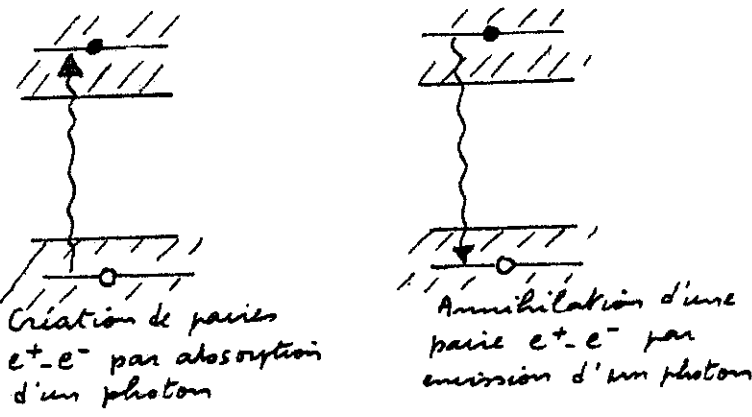
2^{ème} attitude : Idée de Dirac [T-9]

- Tous les états d'énergie < 0 sont remplis. Comme les électrons sont des fermions (spins $1/2$), le principe de Pauli interdit à un électron d'énergie > 0 de tomber dans un état d'énergie < 0 déjà occupé.
 Suppression de la difficulté précédente.

Prediction nouvelle suggérée par l'idée précédente :
 L'absence d'un électron d'énergie $E < 0$, de charge e , d'impulsion \vec{p} de spin μ est équivalente à la présence d'une particule d'énergie $-E > 0$, de charge $-e$, d'impulsion $-\vec{p}$, de spin $-\mu$.

Prediction du positron, anti-particule de l'électron
 Un positron apparaît comme un "trou" dans le continuum des états d'énergie < 0 .

Autres prédictions intéressantes. [T-10]



Création de paires e^+e^- par absorption d'un photon

Annihilation d'une paire e^+e^- par émission d'un photon

Conclusion

L'équation de Dirac ne peut être conservée dans le cadre des théories à 1 particule.
 Elle ne peut être interprétée de manière satisfaisante que dans le cadre des théories à un nombre indéterminé de particules. (Théorie quantique des champs)

Seconde quantification de l'équation de Dirac T11

$u_{\vec{k}}$: Fonction propre commune à \vec{p} et \mathcal{H}_D
 de valeurs propres $\vec{p} = \hbar \vec{k}$, $E_p = +\sqrt{m^2 c^4 + p^2 c^2}$

$v_{\vec{k}}$: " " " " $-\vec{p} = -\hbar \vec{k}$, $-E_p = -\sqrt{m^2 c^4 + p^2 c^2}$

Développement de la fonction d'onde la plus générale Ψ sur la base des états propres de \mathcal{H}_D

$$\Psi = \sum_{\vec{k}} \alpha_{\vec{k}} u_{\vec{k}}(\vec{r}) + \sum_{\vec{k}} \alpha_{\vec{k}}^- v_{\vec{k}}(\vec{r})$$

Ψ est la fonction d'onde la plus générale de la théorie à une particule.

On quantifie Ψ en remplaçant les coefficients du développement $\alpha_{\vec{k}}$ $\alpha_{\vec{k}}^-$ par des opérateurs d'annihilation d'un électron dans l'état correspondant

$$\Psi(\vec{r}) = \sum_{\vec{k}} c_{\vec{k}} u_{\vec{k}}(\vec{r}) + \sum_{\vec{k}} c_{\vec{k}}^- v_{\vec{k}}(\vec{r})$$

Champ quantique de Dirac
 Relations d'anticommutation pour les c et c^+ (fermions)

Reinterprétation de $c_{\vec{k}}$ et $c_{\vec{k}}^+$ VI-4

On pose $c_{\vec{k}} = b_{\vec{k}}^+$ $c_{\vec{k}}^+ = b_{\vec{k}}$

Détruire un électron $-\vec{p}, -E_p$ revient à créer un positron $+\vec{p}, +E_p$

Créer un électron $-\vec{p}, -E_p$ revient à détruire un positron $+\vec{p}, +E_p$

b et b^+ sont donc des opérateurs d'annihilation et de création d'un positron

$$\Psi(\vec{r}) = \sum_{\vec{k}} (c_{\vec{k}} u_{\vec{k}}(\vec{r}) + b_{\vec{k}}^+ v_{\vec{k}}(\vec{r}))$$

Relations d'anticommutation

$$[c_i, c_j]_+ = [c_i^+, c_j^+] = 0$$

$$[c_i, c_j^+]_+ = \delta_{ij}$$

on déduit

$$[c_k, c_{k'}]_+ = [c_k^+, c_{k'}^+]_+ = [b_k, b_{k'}]_+ = [b_k^+, b_{k'}^+]_+ = 0$$

$$[c_k, b_{k'}^+]_+ = [c_k^+, b_{k'}]_+ = 0$$

$$[c_k, c_{k'}^+]_+ = \delta_{kk'} \quad [b_k, b_{k'}^+]_+ = \delta_{kk'}$$

Hamiltonien de Dirac en seconde quantification T-13

A l'Hamiltonien \mathcal{H}_D de la théorie à une particule, on associe l'Hamiltonien suivant en seconde quantification

$$H_D = \int d^3r \Psi^\dagger(\vec{r}) \mathcal{H}_D \Psi(\vec{r}) =$$

$$\sum_{\vec{k}} \underbrace{\langle u_{\vec{k}} | \mathcal{H}_D | u_{\vec{k}} \rangle}_{E_k} c_{\vec{k}}^+ c_{\vec{k}} + \sum_{\vec{k}} \underbrace{\langle v_{\vec{k}} | \mathcal{H}_D | v_{\vec{k}} \rangle}_{-E_k} c_{\vec{k}}^- c_{\vec{k}}^+$$

$$= \sum_{\vec{k}} (E_k c_{\vec{k}}^+ c_{\vec{k}} - E_k b_{\vec{k}} b_{\vec{k}}^+)$$

$$\text{Or } b_{\vec{k}} b_{\vec{k}}^+ = 1 - b_{\vec{k}}^+ b_{\vec{k}}$$

Donc

$$H_D = E_0 + \sum_{\vec{k}} E_k N_{\vec{k}}^e + \sum_{\vec{k}} E_k N_{\vec{k}}^p$$

avec

$N_{\vec{k}}^e = c_{\vec{k}}^+ c_{\vec{k}}$ nombre d'électrons d'énergie E_k

$N_{\vec{k}}^p = b_{\vec{k}}^+ b_{\vec{k}}$ " de positrons " " "

$$E_0 = \sum_{\vec{k}} (-E_k) : \text{énergie du vide (inobservable)}$$

Seules sont observables les déviations par rapport au vide

limite faiblement relativiste T-14

La seule théorie valable est bien sur la théorie à N particules. Il existe cependant des situations

- vitesses faibles devant c
- Interactions avec des champs variant suffisamment lentement dans le temps et dans l'espace

pour lesquelles les états correspondants à un électron forment une multiplicité bien isolée des autres. Les créations de paires $e^+ e^-$ sont alors virtuelles et non réelle.

Peut-on tenir compte de ces créations virtuelles de paire pour introduire un hamiltonien effectif agissant dans le sous-espace des états à 1 particule ?

Idee générale suivie

[T-15]

T-16]

Théorie à 1 particule

[VI-5

1 - Prendre pour hamiltonien non-perturbé
 $H_0 = \int d^3r \Psi^\dagger(\vec{r}) \beta mc^2 \Psi(\vec{r})$ Théorie à N particules

On verra que le spectre de H_0 est formé de multiplicités bien séparées correspondant chacune à des nombres bien définis d'électrons et de positrons.

2 - Considérer le reste de l'hamiltonien V comme une perturbation comptant entre elles les multiplicités propres de H_0

3 - Traiter l'effet de cette perturbation dans la multiplicité à un électron par la méthode de l'hamiltonien effectif.

Auparavant, on appliquera une méthode analogue à l'hamiltonien de Dirac à 1 particule. On prendra

$$H_0 = \beta mc^2$$

H_0 a 2 multiplicités propres E_{\pm} d'énergie $\pm mc^2$. On étudiera l'effet des transitions virtuelles induites par V entre E_+ et E_- par la méthode de l'hamiltonien effectif.

Multiplicités propres de $H_0 = \beta mc^2$

2 multiplicités E_+ et E_- infiniment dégénérées séparées de $2mc^2$

$$\begin{array}{l} +mc^2 \quad E_+ \\ -mc^2 \quad E_- \end{array}$$

E_+ est sous tendue par des spineurs ayant seulement 2 composantes non nulles (la 1^{ère} et la 2^{ème}) car

$$H_0 = \beta mc^2 = mc^2 \begin{pmatrix} +1 & 0 \\ 0 & -1 \end{pmatrix}$$

L'hamiltonien effectif décrivant l'effet de $V = H_D - H_0$ dans E_+ agira donc sur des spineurs à 2 composantes.

Raccord avec la mécanique quantique non relativiste habituelle

Attention. Cet hamiltonien effectif donne de bonnes approximations pour les énergies (valeurs propres) mais non pour les états propres (ce à l'annulation de E_+ par E_-)

Opérateurs "diagonaux" et "non diagonaux" [T-17]

- Un opérateur "diagonal" n'a d'éléments de matrice non nuls qu'à l'intérieur de E_+ ou E_- .

Exemple: β

- Un opérateur "non diagonal" n'a d'éléments de matrice non nuls qu'entre E_+ et E_- .

$$(\alpha_i) = \begin{pmatrix} 0 & \sigma_i \\ \sigma_i & 0 \end{pmatrix}$$

Exemple: $\vec{\alpha}$

- H_D contenant à la fois $\vec{\alpha}$ et β est à la fois diagonal et non diagonal. La méthode de l'hamiltonien effectif consiste à faire subir à H_D une transformation unitaire qui le rende diagonal.

Méthode de Foldy-Wouthuysen

$$e^{iS} e^{iS_1} H_D e^{-iS_1} e^{-iS_2}$$

Suite de transformations unitaires imbriquées

Méthode utilisée ici

$$e^{iS} H_D e^{-iS} \text{ avec } S = \lambda S_1 + \lambda^2 S_2 + \dots$$

Développement de S

Expression de la "perturbation" V [T-18]

On tient compte de l'interaction de la particule avec

- un champ statique extérieur \vec{A}_0, ϕ_0
- le champ de rayonnement \vec{A}, ϕ quantifié

En jauge de Coulomb $\phi = 0$

$$H_D = H_0 + c \vec{\alpha} \cdot \vec{\Pi}_t + e \phi_0 + H_R + V_{\text{Coulomb}}$$

$$\vec{\Pi}_t = \underbrace{\vec{p} - e \vec{A}_0(\vec{r})}_{\vec{\Pi}_0} - e \vec{A}(\vec{r})$$

$$H_R = \sum_{kE} \hbar \omega (a_{kE}^\dagger a_{kE} + \frac{1}{2}) \quad \text{Energie des photons}$$

V_{Coulomb} = Energie du champ électrostatique de la particule (sans conséquence dynamique)

Parties paire (W) et impaire (U) de V

$$U = c \vec{\alpha} \cdot \vec{\Pi}_t$$

$$W = e \phi_0(\vec{r}) + H_R + V_{\text{Coulomb}}$$

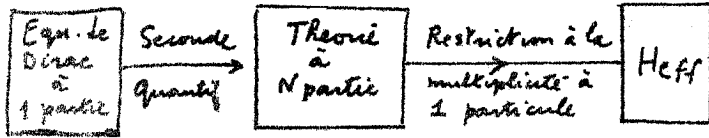
Théorie à N particules

T-19

Indispensable

car on tient compte du couplage avec le rayonnement quantifié. Transitions spontanées se produisant de E_+ vers E_-

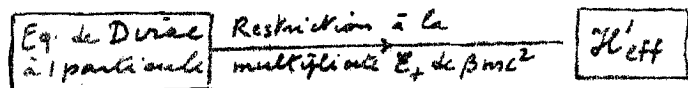
Principe du calcul



Problème : de quel hamiltonien à 1 particule, H_{eff} , agissant sur les spins à 2 composants, H_{eff} peut-il être considéré comme l'opérateur associé en seconde quantification ?

$$H_{eff} = \int d^3r \Psi^\dagger(\vec{r}) H_{eff} \Psi(\vec{r})$$

Attention. H_{eff} n'a aucune raison de coïncider avec H_{eff} obtenu par la méthode de l'hamiltonien effectif appliquée à la théorie de Dirac à 1 particule



C'est H'_{eff} qui a un sens physique clair, et non H_{eff}

VI-6

T-20

Expression de H_0 en seconde quantification

Base d'état à 1 particule adaptée à H_0

$u_{0k}(\vec{r})$ spinors propre de $H_0 = \beta mc^2$
valeurs propres $+\hbar k$ pour \vec{p} , $+mc^2$ pour H_0
 $v_{0k}(\vec{r})$ " " $-\hbar k$ pour \vec{p} , $-mc^2$ pour H_0

(Nombres quantiques de spin sous-entendus)

Expression de $\Psi(\vec{r})$ en seconde quantification

$$\Psi(\vec{r}) = \sum_k (c_{0k} u_{0k}(\vec{r}) + b_{0k}^\dagger v_{0k}(\vec{r}))$$

c_{0k} : op. de destruction d'un e^- ($\hbar k, mc^2$)
 b_{0k}^\dagger : op. de création d'un e^+ ($\hbar k, mc^2$)

Expressions de H_0

$$H_0 = E_0 + mc^2 (N_e + N_p)$$

$$N_e = \sum_k c_{0k}^\dagger c_{0k} : \text{Nombre total de } e^-$$

$$N_p = \sum_k b_{0k}^\dagger b_{0k} : \text{Nombre total de } e^+$$

E_0 : énergie du vide (inobservable)

T-21

Multiplicités propres de H_0

Diagramme à double entrée horizontalement : charge totale ($N_p - N_e$)
verticalement : $mc^2 \times$ nombre total de particules

$5mc^2$	$3e^-, 2e^+$	$3e^+, 2e^-$			
$4mc^2$	$3e^-, 1e^+$	$2e^+, 2e^-$	$3e^+, 1e^-$		
$3mc^2$	$2e^-, 1e^+$	$2e^+, 1e^-$			
$2mc^2$	$2e^-$	$1e^+, 1e^-$	$2e^+$		
mc^2	$1e^-$	$1e^+$			
0		vide			
	-2	-1	0	+1	+2

Charge totale

T-22

Exemples de problèmes intéressants

Recherche de H_{eff} dans la multiplicité $1e^-$

Justification des hamiltoniens à 1 particule utilisés en physique basse énergie (physique atomique et moléculaire, physique du solide...)

Recherche de H_{eff} dans la multiplicité $2e^-$

Modification des interactions entre électrons dues à des créations virtuelles de paires.
En étudiant ensuite l'effet des échanges de photons, interactions électromagnétiques

Recherche de H_{eff} dans la multiplicité $1e^- 1e^+$

Termes nouveaux apparaissant quand une particule interagit avec son antiparticule
"Fonction d'annihilation"
Structure fine du positronium
...